

Mișcarea particulelor încărcate în câmp magnetic

Ştefan-Răzvan Anton
Anul 3, Grupa 1334,
Facultatea de Științe Aplicate

May 1, 2022

1 Scopul lucrării

1. Analiza mișării unei particule încărcate în funcție de sarcina ei într-un câmp magnetic omogen.
2. Utilizarea unui câmp magnetic pentru controlul unei particule încărcate în aproximarea 3D.
3. Evidențierea influenței distribuției după energie asupra traectoriei de mișcare.
4. Utilizarea montajului experimental pentru realizarea unei proceduri de control a traectoriei particulelor încărcate.

2 Principiul fizic

2.1 Analiza mișării unei particule încărcate în funcție de sarcina ei într-un câmp magnetic

În aproximarea 2D, într-un câmp magnetic omogen, o particulă încărcată se va mișca după o orbită circulară fixă. Astfel, forța Lorentz și forța centrifugă sunt în echilibru

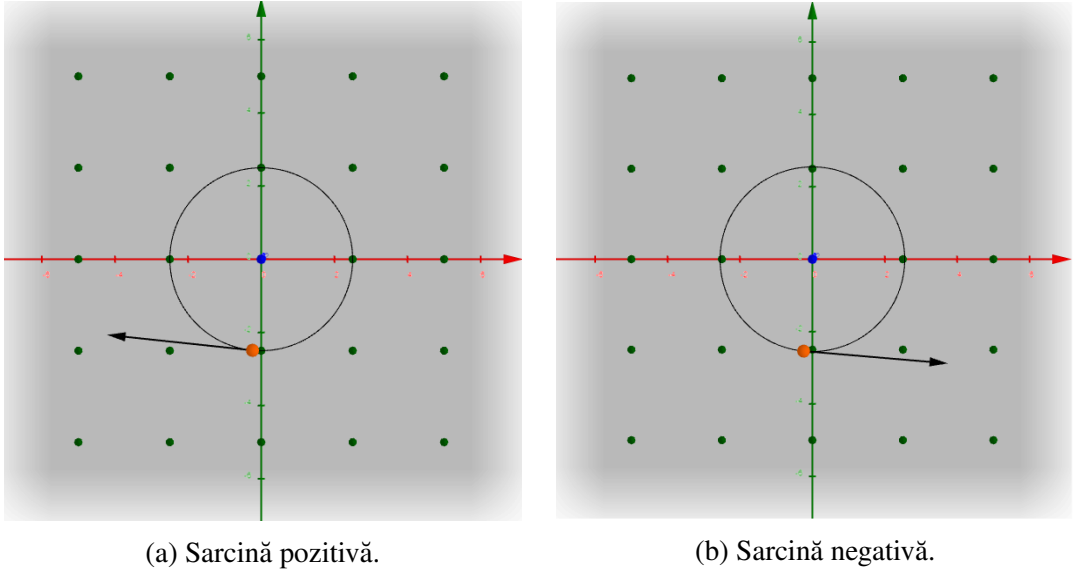
$$qvB = \frac{mv^2}{r}. \quad (1)$$

Deci, o particulă încărcată se va mișca pe traectoria unui cerc de rază

$$r = \frac{mv}{qB}, \quad (2)$$

unde m , v , q sunt masa, viteza respectiv sarcina particulei, iar B este intensitatea câmpului magnetic.

În figura 1 avem două cazuri de mișcare a unei particule încărcate în câmp magnetic în funcție de sarcina acesteia. Observăm că, pentru două sarcini egale dar de semn opus, mișcarea particulei descrie același cerc, dar sensul de parcursere al acestuia este diferit. Sensul se poate afla utilizând regula mâinii drepte.

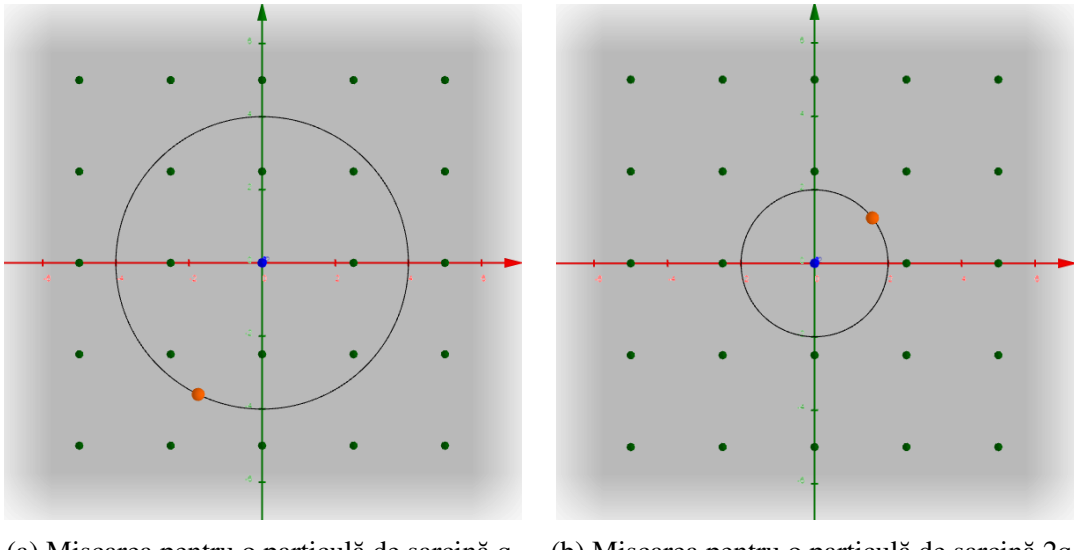


(a) Sarcină pozitivă.

(b) Sarcină negativă.

Figure 1: Mișcarea într-un câmp magnetic omogen, ceiese din foaie, a două particule de sarcină egala și semn contrar.

Observăm și faptul că raza cercului pe care se mișcă particula încărcată este invers proporțională cu sarcina particulei. În figura 2 se observă reducerea la jumătate a razei cercului atunci când se dublează sarcina.



(a) Mișcarea pentru o particulă de sarcină q .

(b) Mișcarea pentru o particulă de sarcină $2q$.

Figure 2: Mișcarea într-un câmp magnetic omogen, ceiese din foaie, a două particule de sarcină diferită.

2.2 Utilizarea unui câmp magnetic pentru controlul unei particule încărcate în aproximăția 3D

Dacă, în schimb, particula pătrunde sub un unghi oarecare în câmp magnetic omogen, atunci viteza particulei poate fi descompusă după două direcții, una paralelă cu linia de câmp magnetic și alta perpendiculară pe linia de câmp. Componenta perpendiculară dă o forță Lorentz nenulă ce va determina o mișcare circulară cu o anume perioadă și de o anumită rază, în timp ce

componenta paralelă a vitezei va da o mișcare de translație în jurul liniei de câmp. Ca urmare, particula descrie o mișcare elicoidală cu un pas ce depinde de componenta paralelă a vitezei și de perioada mișcării circulare În aproxiatia 3D mișcarea unei particule încărcate are o formă mai complexă, aceasta urmează o traierorie helicoidală, ca cea reprezentată în figura 3.

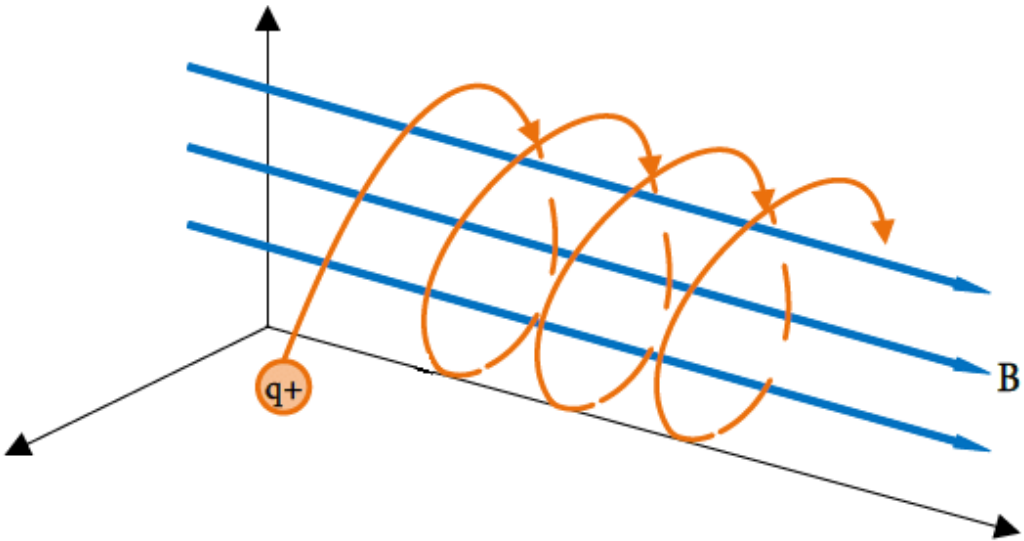


Figure 3: Traieroria helicoidală a unei particule încarcate in aproxiatia 3D.

Putem astfel descrie o configurație de câmp magnetic de poate fi utilizat pentru controlul practic al unei particule încărcate. În fizica plasmei o astfel de configurație este un câmp ce permite fenomenul de reflexie magnetică. Acest fenomen este datorat faptului că forța care actionează asupra unei particule încărcate electric este orientată întotdeauna spre câmpuri mai slabe. Asta înseamnă că, în mișcarea sa, o particulă poate întâlni un camp magnetic care să o oprească și să determine întoarcerea acesteia din sensul în care a venit. Acest fenomen, de reflexie magnetică, permite creearea de oglinzi magnetice (vezi figura 4)

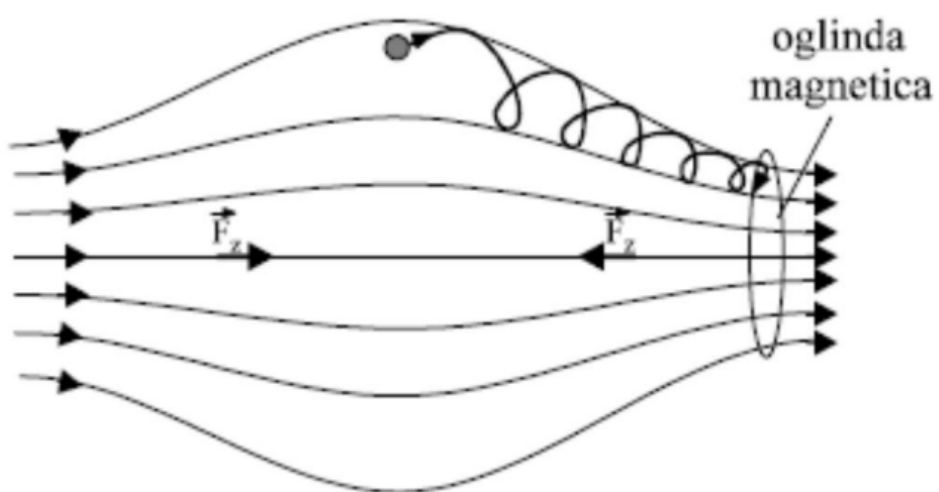


Figure 4: miscarea unei particule incarcate intr-o oglinda magnetica.

Oglinzelile magnetice au o puternică întrebuitare în fizica plasmei prin faptul că sunt folosite în realizarea capcanelor magnetice, un dispozitiv vital în confinarea magnetică a plas-

mei de fuziune. Cea mai simplă capcană magetică se obține folosind două spire de curent apropriate, prin care circulă curenți electrici în același sens (vezi figura 5).

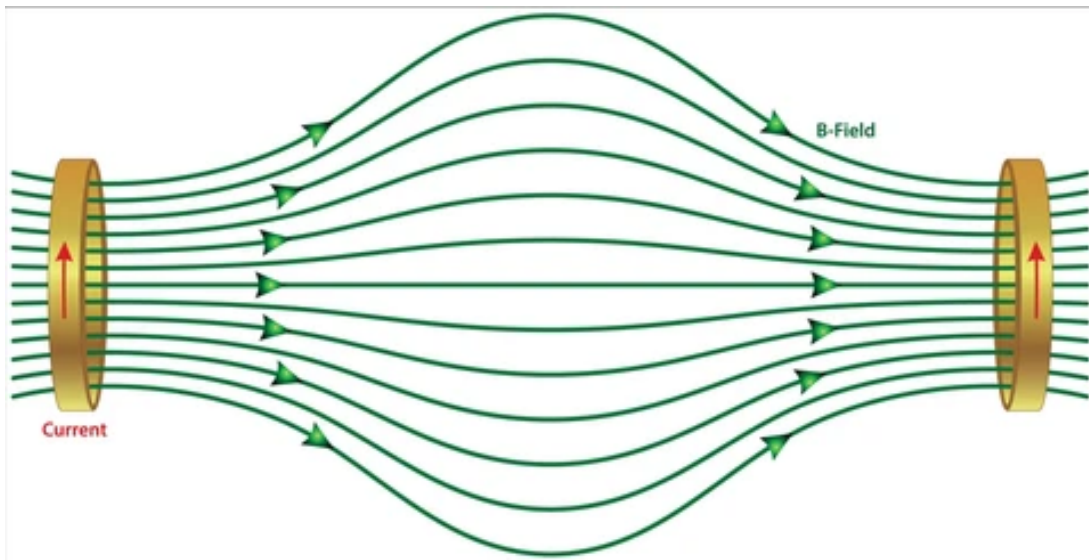


Figure 5: Ansamblu de spire de curent ce formează o capcană magetică.

3 Montajul experimental

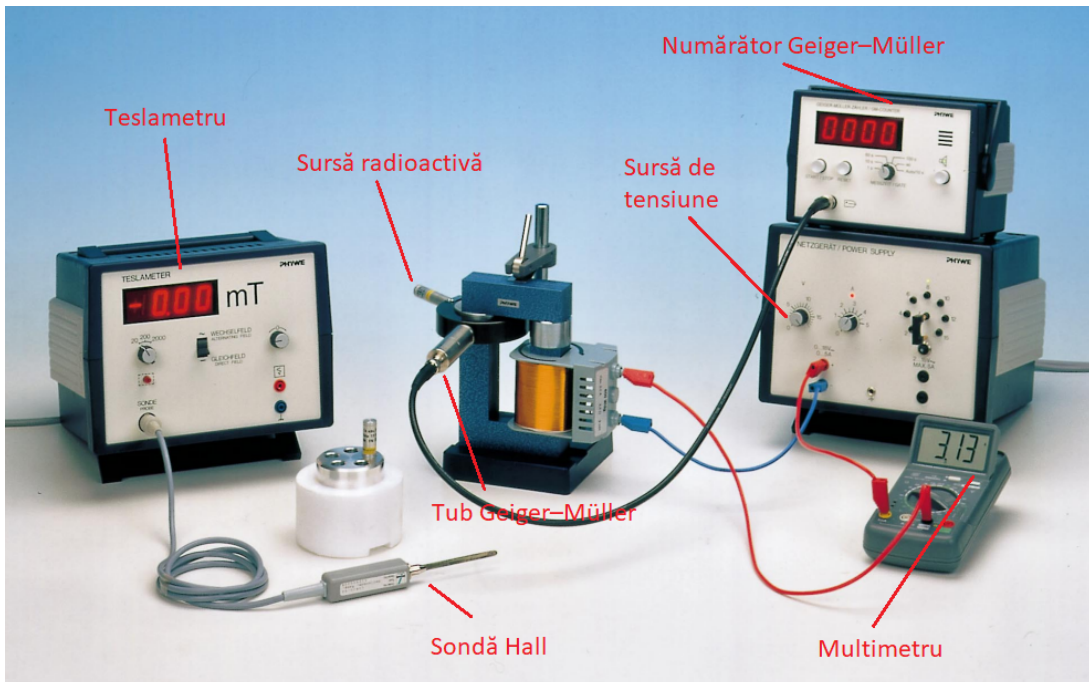


Figure 6: Montajul experimental.

4 Modul de lucru

Pasul 1: Se înregistrează numărul de impulsuri (F) pentru radiația de fond timp de 10 minute ($t_f = 10\text{min} = 600\text{s}$) și se calculează viteza de numărare a fondului cu formula $f = \frac{F}{t_f}$ [imp/s].

Pasul 2: Se introduce sursa de ^{90}Sr în suportul circular și se cuplează borna pozitivă a sursei de alimentare la borna β^- a bobinei.

Pasul 3: Se setează intensitatea curentului brin bobină la prima valoare din tabelul 1.

Pasul 4: Se setează ceasul număratorului la $t = 60\text{s}$ și se înregistrează numărul de impulsuri [N], rezultatul se trece în tabelul 1.

Pasul 5: Se calculează viteza de numărare cu formula $n' = \frac{N}{t}$ [imp/s] și separat se scade viteza de numărare a fondului $n = n' - f$.

Pasul 6: Se repetă măsurările pentru restul valorilor intensității curentului prin bobină.

Pasul 7: Se cuplează borna pozitivă a sursei de alimentare la borna β^+ a bobinei.

Pasul 8: Se parcurg aceleasi măsuratori ca și în cazul anterior, iar rezultatele se trec în tabelul 2.

5 Rezultate

După parcurgerea procedurilor descrise în secțiunea anterioară au rezultat tabelele 1 2 și figurele 8 7.

Privind acum atât la tabelul 1 cat și la figura 8 observăm că există o valoare a campului magnetic pentru care numărul de impulsuri înregistrate este maxim. Această valoare corespunde cu marimea ideală a campului magnetic ce curbează fasciculul de radiatii beta pe detector. O valoare mai mare sau mai mică a campului magnetic va devia fasciculul de radiatii beta înainte sau după detector, acest lucru atrage de la sine valori mai mici ale numărului de impulsuri înregistrate.

Ne concentram atenția pe tabelul 2 cat și la figura 7 observăm că valoile numărului de impulsuri nu mai sunt dependente de valoarea intensității campului magnetic. Acest lucru se întâmplă deoarece am schimbat bornele sursei deci și sensul campului magnetic. Deci acesta va curba traiectoria radiatiilor beta în sensul opus detectorului, astfel vom înregistra doar radiatia de fond. În realitate se înregistrează un număr de impulsuri foarte apropiat de radiatia de fond deoarece unele particule încărcate tot reușesc să ajungă pe detector deoarece au o energie ridicată și nu pot fi deviate în timp de campul magnetic. Acest lucru este evident în special pentru valori mici ale campului magnetic.

Nr. crt	I [A]	b[mT]	E[keV]	N(imp)	n' [Imp/s]	n [imp/s]
1	0	4.4	5.47	155	2.58	2.33
2	0.1	15.4	21.56	258	4.3	4.05
3	0.2	24.5	47.34	336	5.6	5.35
4	0.3	34.7	81.55	534	8.9	8.65
5	0.4	45.7	122.83	789	13.15	12.9
6	0.5	56.1	169.89	1008	16.8	16.55
7	0.6	65.8	221.62	1140	19	18.75
8	0.7	78	277.11	1267	21.11	20.86
9	0.8	87	335.61	1296	21.6	21.35
10	0.9	97.4	396.53	1278	21.3	21.05
11	1.0	107.4	459.43	1076	17.93	17.68
12	1.1	120.2	523.94	1004	16.73	16.48
13	1.2	128.5	589.79	894	14.9	12.65
14	1.3	140	656.74	735	12.25	12
15	1.4	149	724.61	618	10.3	10.05
16	1.5	159.3	793.27	477	7.95	7.7
17	1.6	168.1	861.58	412	6.86	6.61
18	1.7	174.7	932.47	308	5.13	4.88

Table 1: Datele colectate pentru sursa de ^{90}Sr atunci când borna pozitivă a sursei este conectată la borna negativă a sursei.

Nr. crt	I [A]	b[mT]	E[keV]	N[imp]	n' [Imp/s]	n [imp/s]
1	0	4.4	5.47	82	1.36	1.11
2	0.1	15.4	21.56	81	1.35	1.1
3	0.2	24.5	47.34	70	1.16	0.91
4	0.3	34.7	81.55	57	0.95	0.7
5	0.4	45.7	122.83	43	0.71	0.46
6	0.5	56.1	169.89	38	0.63	0.38
7	0.6	65.8	221.62	31	0.51	0.26
8	0.7	78	277.11	34	0.56	0.31
9	0.8	87	335.61	34	0.56	0.31
10	0.9	97.4	396.53	24	0.4	0.15
11	1.0	107.4	459.43	30	0.5	0.25
12	1.1	120.2	523.94	36	0.6	0.35
13	1.2	128.5	589.79	19	0.31	0.06
14	1.3	140	656.74	20	0.33	0.08
15	1.4	149	724.61	15	0.25	0
16	1.5	159.3	793.27	20	0.33	0.08
17	1.6	168.1	861.58	16	0.26	0.01
18	1.7	174.7	932.47	15	0.25	0

Table 2: Datele colectate pentru sursa de ^{90}Sr atunci când borna pozitivă a sursei este conectată la borna pozitivă a sursei.

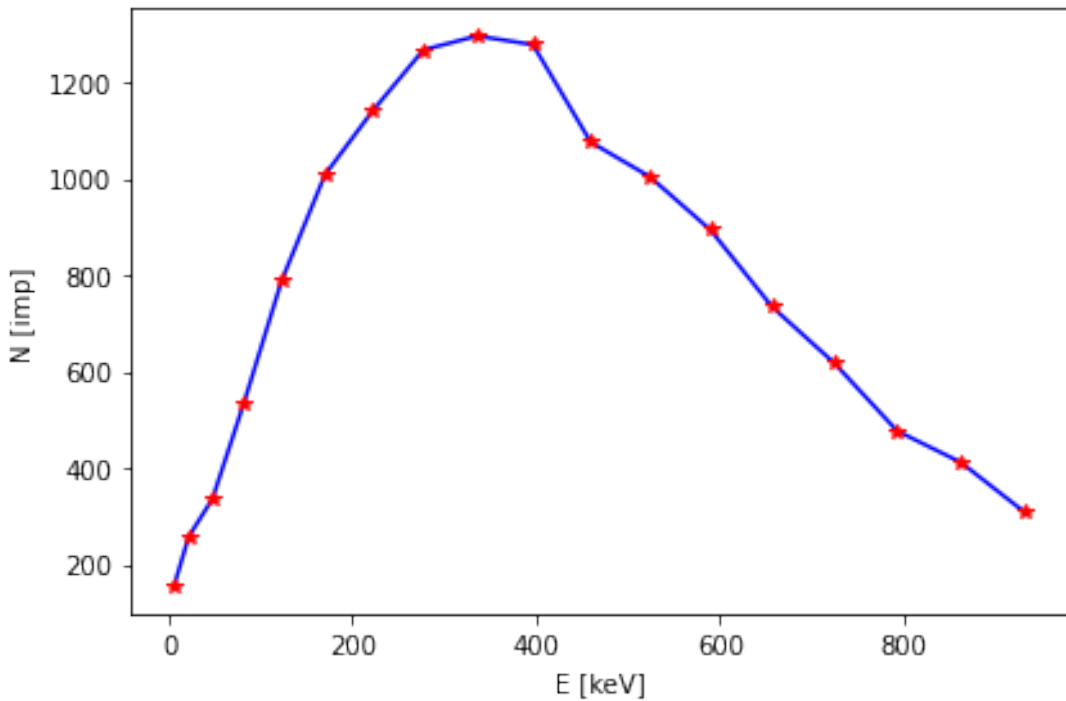


Figure 7: Graficul distributiei dupa energie pentru sursa de ^{90}Sr atunci când borna pozitivă a sursei este conectată la borna β^- a sursei.

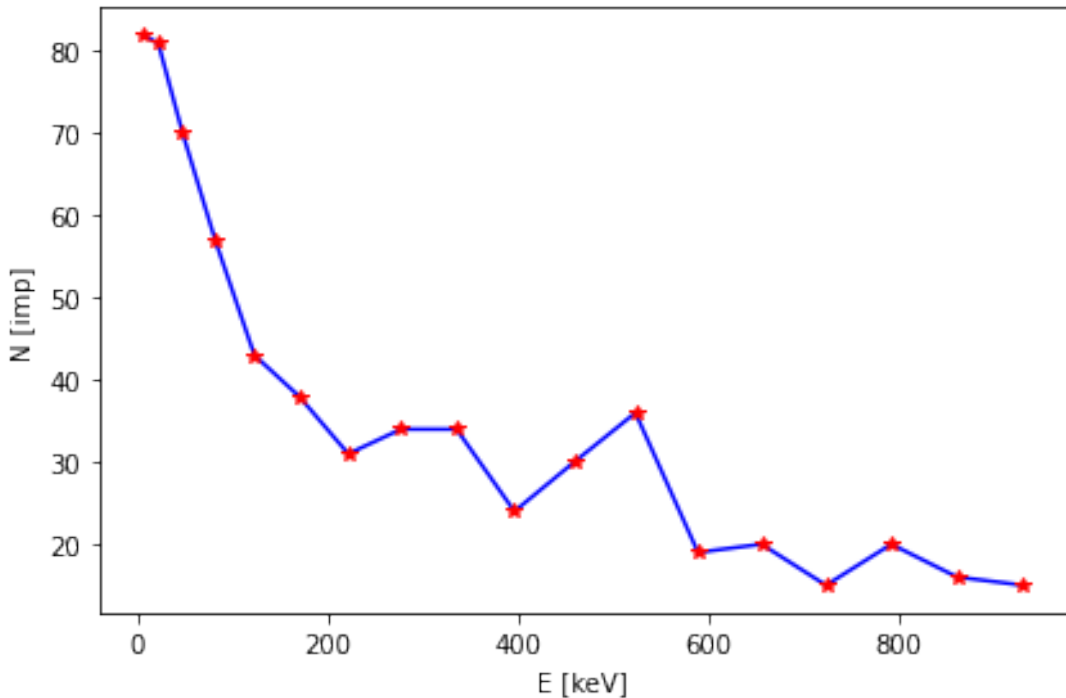


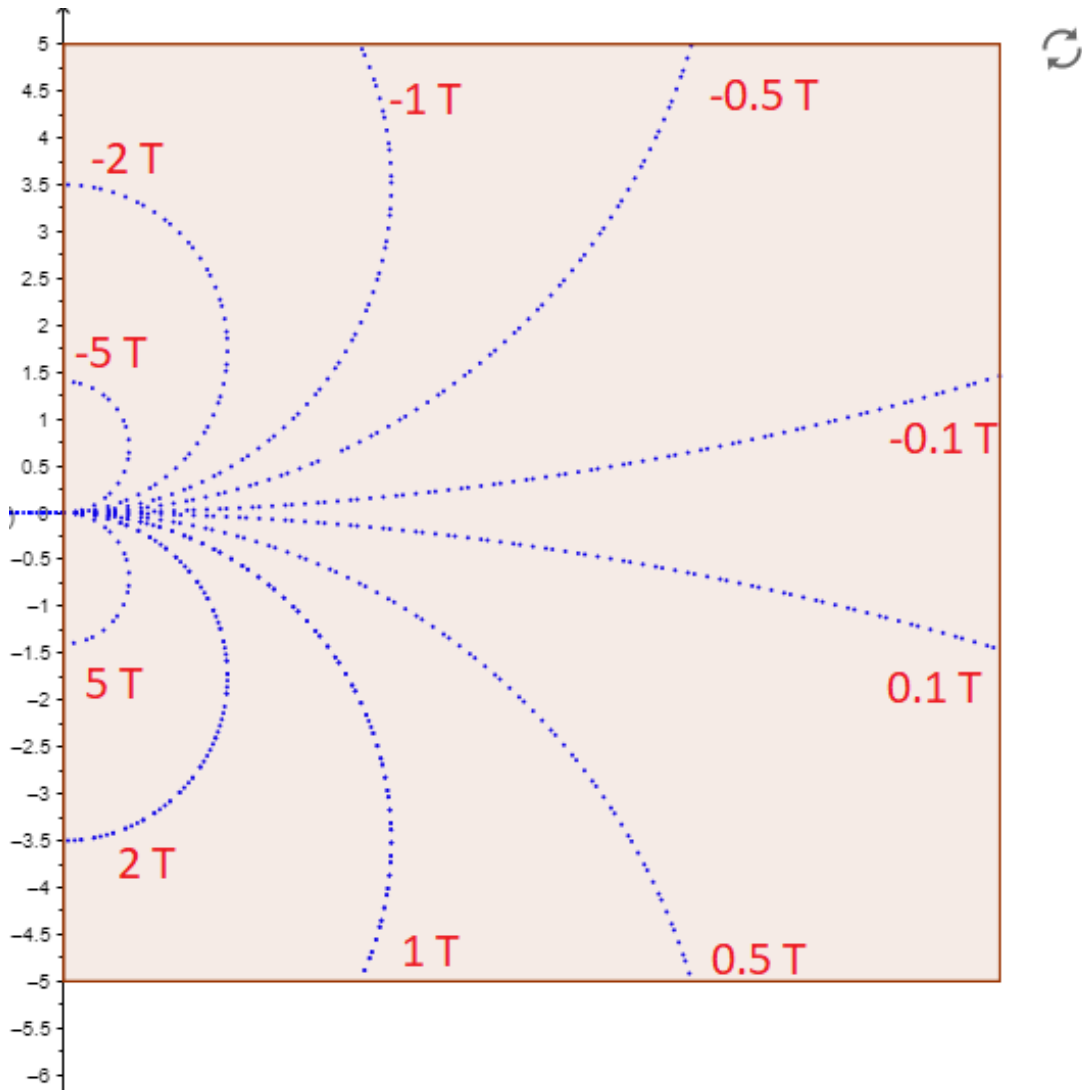
Figure 8: Graficul distributiei dupa energie pentru sursa de ^{90}Sr atunci când borna pozitivă a sursei este conectată la borna β^+ a sursei.

The stronger the magnetic field, the greater the deflection. If the field direction is changed, the deflection also occurs in the opposite direction. The beta particles have different energy values because they are deflected to different degrees.

6 Controlul traectoriei particulelor încărcate

Montajul experimental descris în secțiunea 3 poate fi utilizat pentru controlul traectoriei particulelor încărcate. Vom arăta acest lucru prin utilizarea simulatorului []

Considerăd o particulă cu masa, sarcină și viteză inițială constantă, putem controla traectoria acesteia prin trecerea acesteia prin-tun câmp magnetic



(a) Grupa 1 (20cm)

Figure 9: Dependența traectoriei unei particule încărcate de intensitatea câmpului magnetic prin care trece

In urma utilizarii simulatorului realizam faptul ca un camp magnetic mai puternic va devia mai mult traectoria unei particule incarcate si daca directia campului magnetic se schimba, atunci si deviatia are loc in sensul opus.

7 Concluzii